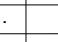

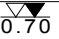

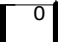
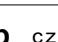
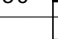
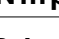




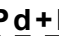
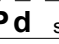
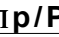











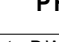
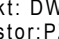
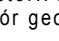
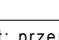
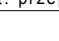
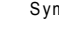




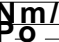
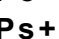
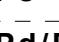
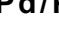
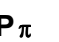


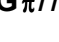

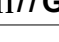



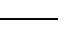

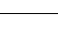



### Rys. nr 1.4.4

PRACOWNIA GEOLOGICZNO-INŻYNIERSKA Piotr Janiszewski					KARTA OTWORU WIERTNICZEGO PROFIL NUMER PH1-2/1							WIERTNICA: WH-5			PRACOWNIA GEOLOGICZNO-INŻYNIERSKA Piotr Janiszewski					KARTA OTWORU WIERTNICZEGO PROFIL NUMER PH1-2/2							WIERTNICA: WH-5			PRACOWNIA GEOLOGICZNO-INŻYNIERSKA Piotr Janiszewski					KARTA OTWORU WIERTNICZEGO PROFIL NUMER PP1-6/1							WIERTNICA: WH-5																																																																																																																																																																																																																																																																																																																																																																																																																																																																																																																																																																																																																																																																																																																																																																																																																																																													
gmina: Turośń Kościelna, Juchnowiec Kościelny powiat: białostocki woj: podlaskie					Obiekt: DW 678 Inwestor:PZDW Nadzór geologiczny: mgr Piotr Janiszewski							System wiercenia: mechanicznie x=8437706.70 y=5881835.04 Rzędna: 134,6 m n.p.m.					Skala: 1:100			gmina: Turośń Kościelna, Juchnowiec Kościelny powiat: białostocki woj: podlaskie					Obiekt: DW 678 Inwestor:PZDW Nadzór geologiczny: mgr Piotr Janiszewski							Skala: 1:100			gmina: Turośń Kościelna, Juchnowiec Kościelny powiat: białostocki woj: podlaskie					Obiekt: DW 678 Inwestor:PZDW Nadzór geologiczny: mgr Piotr Janiszewski							Skala: 1:100																																																																																																																																																																																																																																																																																																																																																																																																																																																																																																																																																																																																																																																																																																																																																																																																																																																								
stratygrafia	głębokość zwiarcia wody	profil litologiczny	przelot	Symbol gruntu barwa	wartość ID/IL	stan gruntu	ilość wałeczków	wilgotność	rodzaj badania głębokość	warstwa geotechniczna	stratygrafia	głębokość zwiarcia wody	profil litologiczny	przelot	Symbol gruntu barwa	wartość ID/IL	stan gruntu	ilość wałeczków	wilgotność	rodzaj badania głębokość	warstwa geotechniczna	stratygrafia	głębokość zwiarcia wody	profil litologiczny	przelot	Symbol gruntu barwa	wartość ID/IL	stan gruntu	ilość wałeczków	wilgotność	rodzaj badania głębokość	warstwa geotechniczna	stratygrafia	głębokość zwiarcia wody	profil litologiczny	przelot	Symbol gruntu barwa	wartość ID/IL	stan gruntu	ilość wałeczków	wilgotność	rodzaj badania głębokość	warstwa geotechniczna																																																																																																																																																																																																																																																																																																																																																																																																																																																																																																																																																																																																																																																																																																																																																																																																																																																												
1	2	3	4	5	6	7	8	9	10	11	12	1	2	3	4	5	6	7	8	9	10	11	12	1	2	3	4	5	6	7	8	9	10	11	12	1	2	3	4	5	6	7	8	9	10	11	12																																																																																																																																																																																																																																																																																																																																																																																																																																																																																																																																																																																																																																																																																																																																																																																																																																																								
Qhh		0		0.40	Nm cz.				w.		II	Qh		0		0.50	H cz.				w.		IIID	Qhh		0		0.70	Nmp cz.				w.			Qhh		0		0.70	Nmp cz.				w.																																																																																																																																																																																																																																																																																																																																																																																																																																																																																																																																																																																																																																																																																																																																																																																																																																																										
Qhf		-1		1.00	Ps sz.	$I_D^{(n)} = 0.50$			nw.		IIID	Qhf		-1		1.20	Ps sz.			m./nw.		IIID	Qhf		-1		1.50	Pd z.br.	$I_D^{(n)} = 0.55$			nw.		IIIC	Qhf		-2		2.00	Pd+Pπ sz.br.	$I_D^{(n)} = 0.75$			nw.		IIIF	Qhf		-2		2.50	Pd sz.			nw.		IIIF	Qhf		-2		3.00	Pd sz.			nw.		IIIF	Qhf		-2		3.00	Pd sz.			nw.		IIIF	Qhf		-2		3.00	Pd sz.			nw.		IIIF	Qhf		-2		3.00	Pd sz.			nw.		IIIF	Qhf		-2		3.00	Pd sz.			nw.		IIIF	Qhf		-2		3.00	Pd sz.			nw.		IIIF	Qhf		-2		3.00	Pd sz.			nw.		IIIF	Qhf		-2		3.00	Pd sz.			nw.		IIIF	Qhf		-2		3.00	Pd sz.			nw.		IIIF	Qhf		-2		3.00	Pd sz.			nw.		IIIF	Qhf		-2		3.00	Pd sz.			nw.		IIIF	Qhf		-2		3.00	Pd sz.			nw.		IIIF	Qhf		-2		3.00	Pd sz.			nw.		IIIF	Qhf		-2		3.00	Pd sz.			nw.		IIIF	Qhf		-2		3.00	Pd sz.			nw.		IIIF	Qhf		-2		3.00	Pd sz.			nw.		IIIF	Qhf		-2		3.00	Pd sz.			nw.		IIIF	Qhf		-2		3.00	Pd sz.			nw.		IIIF	Qhf		-2		3.00	Pd sz.			nw.		IIIF	Qhf		-2		3.00	Pd sz.			nw.		IIIF	Qhf		-2		3.00	Pd sz.			nw.		IIIF	Qhf		-2		3.00	Pd sz.			nw.		IIIF	Qhf		-2		3.00	Pd sz.			nw.		IIIF	Qhf		-2		3.00	Pd sz.			nw.		IIIF	Qhf		-2		3.00	Pd sz.			nw.		IIIF	Qhf		-2		3.00	Pd sz.			nw.		IIIF	Qhf		-2		3.00	Pd sz.			nw.		IIIF	Qhf		-2		3.00	Pd sz.			nw.		IIIF	Qhf		-2		3.00	Pd sz.			nw.		IIIF	Qhf		-2		3.00	Pd sz.			nw.		IIIF	Qhf		-2		3.00	Pd sz.			nw.		IIIF	Qhf		-2		3.00	Pd sz.			nw.		IIIF	Qhf		-2		3.00	Pd sz.			nw.		IIIF	Qhf		-2		3.00	Pd sz.			nw.		IIIF	Qhf		-2		3.00	Pd sz.			nw.		IIIF	Qhf		-2		3.00	Pd sz.			nw.		IIIF	Qhf		-2		3.00	Pd sz.			nw.		IIIF	Qhf		-2		3.00	Pd sz.			nw.		IIIF	Qhf		-2		3.00	Pd sz.			nw.		IIIF	Qhf		-2		3.00	Pd sz.			nw.		IIIF	Qhf		-2		3.00	Pd sz.			nw.		IIIF	Qhf		-2		3.00	Pd sz.			nw.		IIIF	Qhf		-2		3.00	Pd sz.			nw.		IIIF	Qhf		-2		3.00	Pd sz.			nw.		IIIF	Qhf		-2		3.00	Pd sz.			nw.		IIIF	Qhf		-2		3.00	Pd sz.			nw.		IIIF	Qhf		-2		3.00	Pd sz.			nw.		IIIF	Qhf		-2		3.00	Pd sz.			nw.		IIIF	Qhf		-2		3.00	Pd sz.			nw.		IIIF	Qhf		-2		3.00	Pd sz.			nw.		IIIF	Qhf		-2		3.00	Pd sz.			nw.		IIIF	Qhf		-2		3.00	Pd sz.			nw.		IIIF	Qhf		-2		3.00	Pd sz.			nw.		IIIF	Qhf		-2		3.00	Pd sz.			nw.		IIIF	Qhf		-2		3.00	Pd sz.			nw.		IIIF	Qhf		-2		3.00	Pd sz.			nw.		IIIF	Qhf		-2		3.00	Pd sz.			nw.		IIIF	Qhf		-2		3.00	Pd sz.			nw.		IIIF	Qhf		-2		3.00	Pd sz.			nw.		IIIF	Qhf		-2		3.00	Pd sz.			nw.		IIIF	Qhf		-2		3.00	Pd sz.			nw.		IIIF	Qhf		-2		3.00	Pd sz.			nw.		IIIF	Qhf		-2		3.00	Pd sz.			nw.		IIIF	Qhf		-2		3.00	Pd sz.			nw.		IIIF	Qhf		-2		3.00	Pd sz.			nw.		IIIF	Qhf		-2		3.00	Pd sz.			nw.		IIIF	Qhf		-2		3.00	Pd sz.			nw.		IIIF	Qhf		-2		3.00	Pd sz.			nw.		IIIF	Qhf		-2		3.00	Pd sz.			nw.		IIIF	Qhf		-2		3.00	Pd sz.			nw.		IIIF	Qhf		-2		3.00	Pd sz.			nw.		IIIF	Qhf		-2		3.00	Pd sz.			nw.		IIIF	Qhf		-2		3.00	Pd sz.			nw.		IIIF	Qhf		-2		3.00	Pd sz.			nw.		IIIF